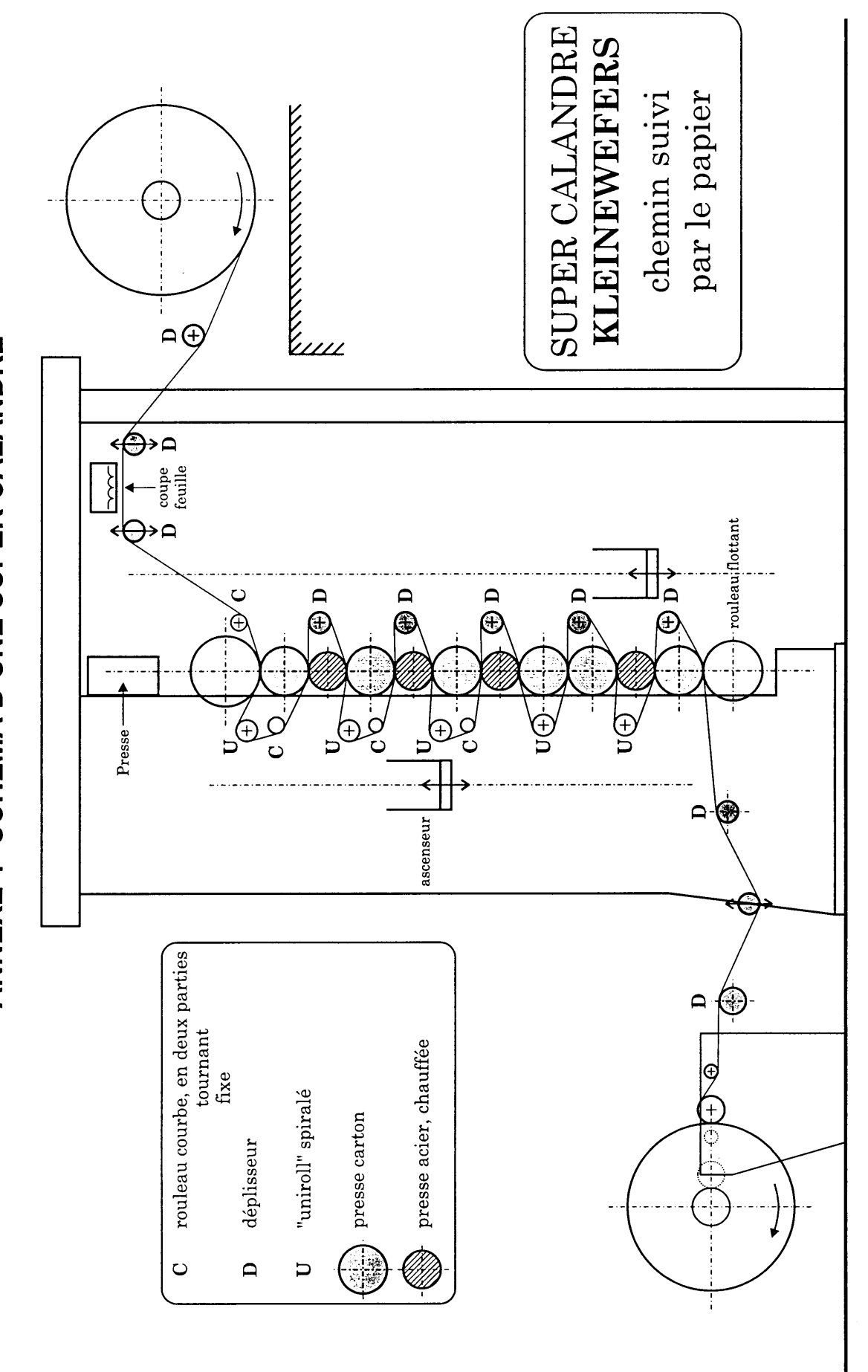
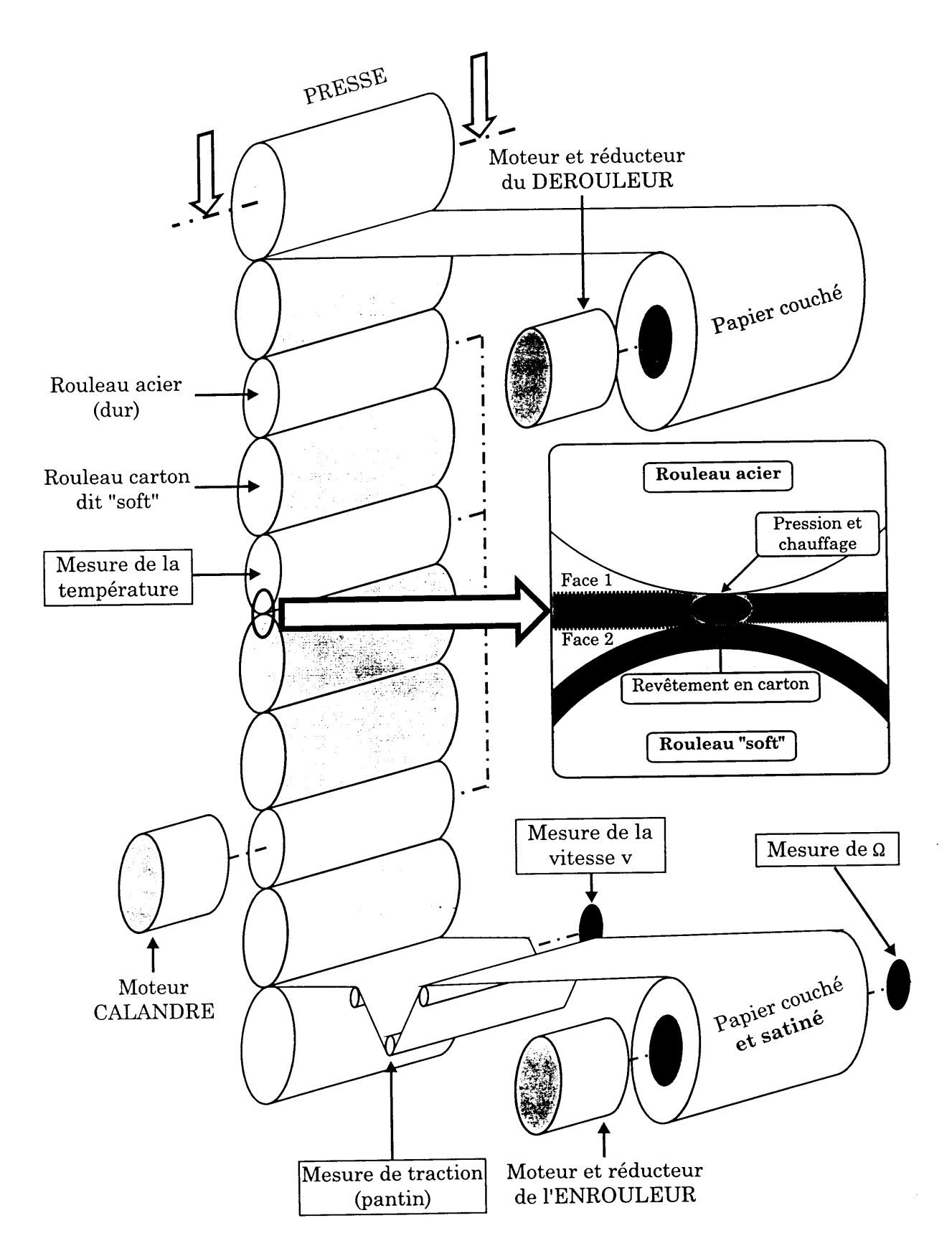
ANNEXE 1 - SCHÉMA D'UNE SUPER CALANDRE

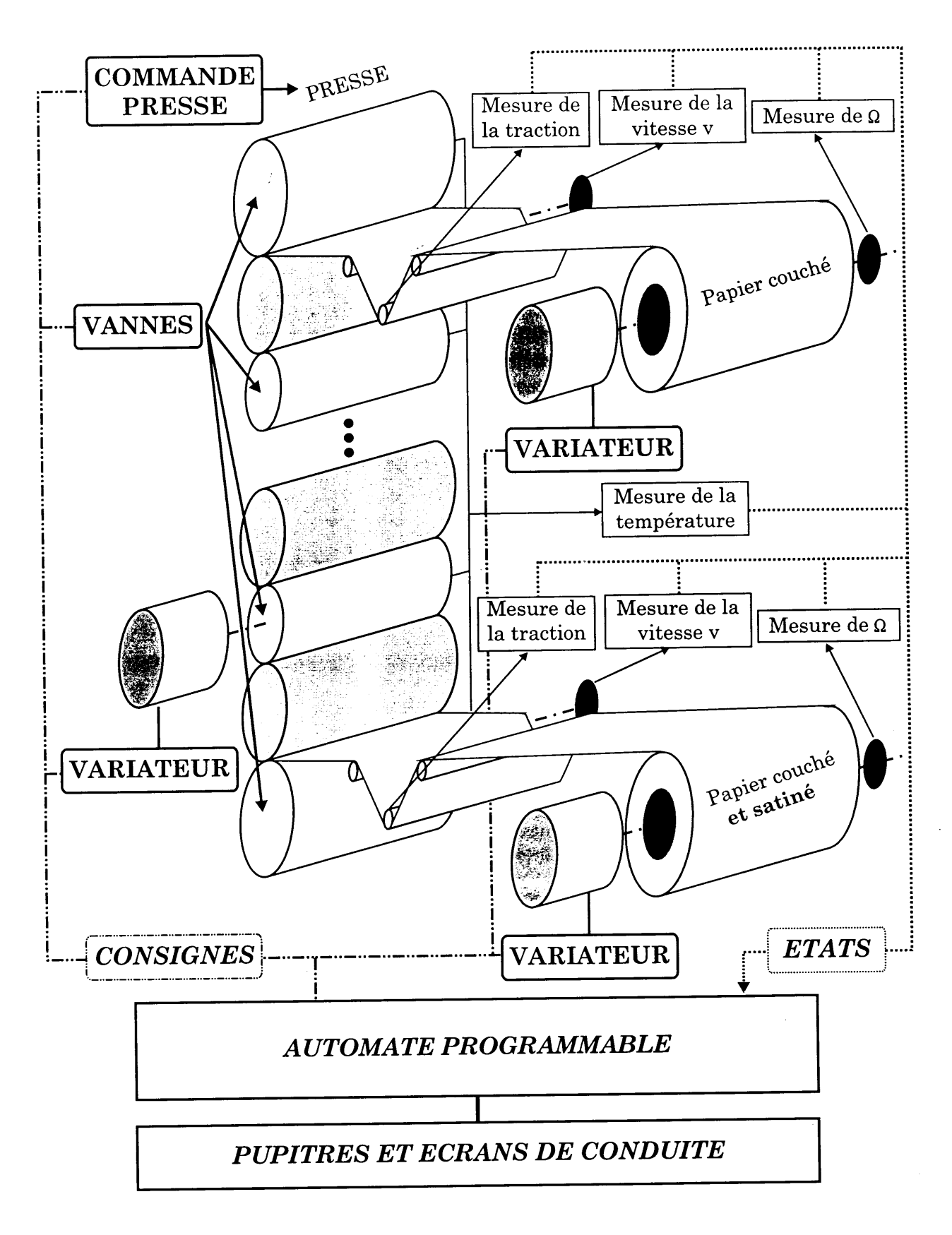


ANNEXE 2

ARCHITECTURE SIMPLIFIÉE D'UNE CALANDRE



ANNEXE 3 ARCHITECTURE SIMPLIFIÉE DE LA COMMANDE



ANNEXE 4

SPÉCIFICATIONS DE L'AD654

Convertisseur tension-fréquence à faible coût

Le circuit AD654 est convertisseur V/F ou I/F (selon le montage), constitué d'un amplificateur d'entrée, un oscillateur de précision (multivibrateur) et d'un étage de sortie en courant.

Il peut être utilisé en convertisseur tension/fréquence ou en convertisseur courant/fréquence. Dans le premier cas, la tension est convertie en courant par une résistance en série dans l'entrée inverseuse. Un simple réseau RC est nécessaire pour obtenir une dynamique de fréquence de sortie pouvant atteindre 500 kHz, pour une dynamique d'entrée maximale de ±30 V. L'erreur de linéarité est inférieure à 0,03% pour une dynamique de sortie de 250 kHz. La dynamique d'entré est supérieure à 80 dB. Le coefficient de température est typiquement de ±50 ppm/°C. Le circuit fonctionne avec une alimentation simple comprise entre 5 V et 36 V ou une alimentation double. Le courant consommé (non compris le transistor de sortie) est typiquement 2 mA.

L'impédance d'entrée est de 250 MΩ.

Le signal de sortie est de forme carrée. Sa fréquence est donnée, dans la configuration d'utilisation, par la relation :

$$f = \frac{I_E}{(V_0).C_f}$$
 avec $V_0 = 10 \text{ V}.$

Le circuit existe en deux types de boîtiers : mini-DIP 8 connexions, SOIC, 8 connexions.

Les principales spécifications sont fournies dans le tableau de la page suivante.

SPÉCIFICATIONS

Caractéristiques	Min	Тур	Max	Unités
CONVERSION COURANT-FRÉQUENCE Dynamique Non linéarité ¹ fmax = 250 kHz	0	0,06	500 0,1	kHz %
fmax = 250 kHz fmax = 500 kHz Erreur de calibration pleine échelle En fonction de l'alimentation (f<250 kHz)		0,20	0,4	%
Vs = 4,75 V à 5,25 V Vs = 5,25 V à 16,5 V En fonction de la température (0 à 70 °C)		0,20 0,05 50	0,40 0,10	%/V %/V ppm/°C
AMPLIFICATEUR D'ENTRÉE Dynamique d'entrée alimentation simple alimentation double Courant d'entrée Courant d'offset en entrée Impédance d'entrée (entrée non inverseuse) Tension d'offset en entrée En fonction de l'alimentation (f<250 kHz) Vs = 4,75 V à 5,25 V Vs = 5,25 V à 16,5 V En fonction de la température (0 à 70 °C)	0 -Vs	30 5 250 0,5 0,1 0,03 4	(+Vs - 4) (+Vs - 4) 50 1,0 0,25 0,1	V V nA nA MΩ mV mV/V mV/V μV/°C
INTERFACE DE SORTIE (collecteur ouvert) (Signal carré symétrique) Courant absorbé au niveau logique "0"² Vout = 0,4 V max, 25 °C Vout = 0,4 V max, 0 à 70 °C Courant résiduel de sortie, niveau logique "1" 0 à 70 °C Dynamique de la référence logique Temps de montée/descente (Cf = 0,01 µF) I _E = 1 mA I _E = 1 µA	10 5 -Vs	20 10 10 50	100 500 (+Vs - 4)	mA mA nA nA V µs µs
ALIMENTATION Dynamique de fonctionnement alimentation simple alimentation double Courant de repos Vs (total) = 5 V Vs (total) = 30 V	4,5 ±5	1,5 2,0	36 ±18 2,5 3,0	V V mA mA
LIMITES DE TEMPÉRATURE En fonctionnement	-40		85	°C

À f_{max} = 250 kHz ; Cf = 390 pF ; I_{E} = 0-1 mA.

² Le courant absorbé est celui qui peut entrer dans le collecteur, tout en maintenant une tension max de 0,4 V entre le collecteur et l'émetteur.

ANNEXE 5

TABLEAU DE QUELQUES TRANSFORMÉES USUELLES

f(t)	F(p)	f(t)	F(p)
К	<u>К</u> р	e ^{at} .t ⁿ	$\frac{n!}{(p-a)^{n+1}}$
Kt	$\frac{K}{p^2}$	sin ωt	$\frac{\omega}{(p^2+\omega^2)}$
$\frac{t^{n-1}}{(n-1)!}$	$\frac{1}{p^n}$	cos ωt	$\frac{p}{(p^2+\omega^2)}$
δ(t)	1	shωt	$\frac{\omega}{(p^2-\omega^2)}$
$f(t-t_0)$	e ^{-pt} 0.F(p)	chwt	$\frac{p}{(p^2-\omega^2)}$
e ^{-at}	1 p + a	$\frac{1}{(\tau_1 - \tau_2)} \cdot (e^{-t/\tau_1} - e^{-t/\tau_2})$	$\frac{1}{(1+\tau_1)(1+\tau_2)}$
t "	n! p ⁿ⁺¹	$1 + \frac{1}{(\tau_1 - \tau_2)} \cdot (\tau_1 \cdot e^{-t\tau_1} - \tau_2 \cdot e^{-t\tau_2})$	$\frac{1}{(1+\tau_1)(1+\tau_2)p}$
1 – e ^{-t/τ}	$\frac{1}{p(1+\tau p)}$	$1 + (\frac{a-\tau}{\tau^2}.t-1).e^{-t/\tau}$	$\frac{1+ap}{p(1+\tau p)^2}$
$\frac{1}{T^n}\frac{t^{n-1}}{(n-1)!}.e^{-tT^{T}} n\geq 1$	$\frac{1}{(1+\tau p)^n}$	$(a - \tau)(1 - e^{-t/\tau}) + t$	$\frac{1+ap}{p^2(1+\tau p)}$
$1 - \frac{t + \tau}{\tau} \cdot e^{-t/\tau}$	$\frac{1}{p(1+\tau p)^2}$	e ^{-at} sin ωt	$\frac{\omega}{(p+a)^2+\omega^2}$
$T(e^{-t/T} + \frac{t}{T} - 1)$	$\frac{1}{p^2(1+\tau p)}$	e ^{-at} cos ωt	$\frac{p+a}{(p+a)^2+\omega^2}$
1 + a - T .e ^{-t/T}	$\frac{1+ap}{p(1+\tau p)}$	1 – cos ω <i>t</i>	$\frac{1}{p(1+\frac{p^2}{\omega^2})}$

ANNEXE 5

TABLEAU DE QUELQUES TRANSFORMÉES USUELLES (suite)

f(t)	F(p)	
$\frac{\omega_0}{\sqrt{1-z^2}}.e^{-z\omega_0t}\sin(\sqrt{1-z^2}\omega_0.t)$	$\frac{1}{1+2z\frac{p}{\omega_0}+(\frac{p}{\omega_0})^2}$	
$1 - \frac{1}{\sqrt{1-z^2}} \cdot e^{-z\omega_0 t} \sin(\sqrt{1-z^2} \cdot \omega_0 t - \varphi)$	$\frac{1}{p[1+2z\frac{p}{\omega_0}+(\frac{p}{\omega_0})^2]}$	
avec $\varphi = Arctan\left[\frac{\sqrt{1-z^2}}{-z}\right]$	avec z<1	